

連続体に換算して箱型トラスのねじり剛性について

大阪大学 正員 小松栄夫
 大阪大学 正員 西村宣男
 大阪大学 学生員 西井良一

1. まえがき

筆者等は吊橋補剛トラスを対象として、吊橋のねじり解析が簡単に行えるよう、トラスの骨組構造を連続体に換算する方法を追求しておるが、今回、トラス弦材の軸方向変位によるねじり角変化と、せん断力による斜成、横構の伸縮によるねじり角変化を併せて考へることによ、乙箱型トラスのせん断束縛するねじりに関する基礎方程式の説明を行つた。

2. 斜材の伸縮とWarpingによるトラスの変位

Fig. 1(a)に示すような箱型トラスの両端にねじりモーメント T_s が作用したとき、1パネルを取出して考えると、1面のトラスは Fig. 1(b) に示すような斜成の伸縮による変位 δ_s と Fig. 1(c) に示す Warping w による変位 δ_w とからなる。主構の変位を γ 、横構のそれを ξ と表わす。

$$\gamma_s = \Delta h / \sin \theta = \alpha S_h, \quad \xi_s = \beta S_h \quad (1)$$

$$\Rightarrow \kappa = \alpha = h / EA_s \sin^2 \theta, \quad \beta = b / 2EA_h \sin^2 \theta$$

$$\gamma_w = z w \lambda / h, \quad \xi_w = -z w \lambda / b, \quad (2)$$

兩者を合せて、

$$\gamma = \gamma_s + \gamma_w = \alpha S_h + z w \lambda / h$$

$$\xi = \xi_s + \xi_w = \beta S_h - z w \lambda / b$$

$\kappa = \xi / \gamma$ $\gamma_s = \xi / b$, $T_s = S_{ab} + S_{bh} \cdot h$ の関係があらから

$$S_h = T_s / 2b, \quad S_b = T_s / z h \quad (4)$$

トラスのねじり剛性 G_{st} は

$$G_{st} = T_s \lambda b / z \delta = T_s \lambda h / z \xi = \frac{z \lambda b^2 h^2}{h^2 \alpha + b^2 \beta} \quad (5)$$

(5)式は Bleich の別法による値と一致する。しかし先に筆者等が発表した厳密式⁽¹⁾は、弦材の伸縮を考慮してあるから

$$G_{st}' = \frac{z \lambda b^2 h^2}{h^2 (\alpha + \alpha_c) + b^2 \beta}, \quad \alpha_c = \frac{1}{EA_c} \frac{\lambda}{\tan^2 \theta} \quad (6)$$

(5)式、(6)式の差は Fig. 2 に示す程度である。吊橋補剛トラスで用いられるように腹材が弦材に比し、かなり小さいトラスではこの差は小さく(5)式を用いてよい。

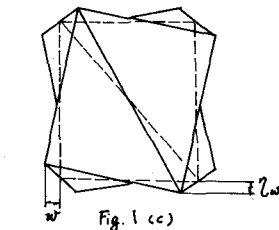
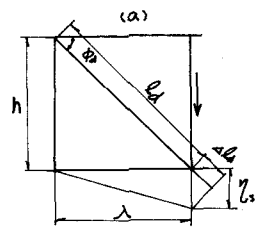
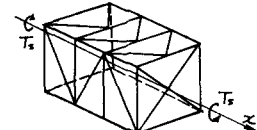
3. 曲げねじり

文献(1)より曲げねじり状態ではトラスのパネル間に働く力は前筋のせん断力 S_h , S_b の他に軸方向力 N が存在する。このとき斜材及び横構に生ずる軸力のトラス断面方向成分は

$$S_h = \frac{h}{2} \left(\frac{T}{bh} - \frac{dN}{dx} \right), \quad S_b = \frac{b}{2} \left(\frac{T}{bh} + \frac{dN}{dx} \right) \quad (7)$$

トラスの変位 γ , ξ に対する式(1)の考え方を進めて

$$\frac{d^2 \gamma_s}{dx^2} = \alpha' \left(\frac{1}{bh} \frac{dT}{dx} - \frac{d^2 N}{dx^2} \right), \quad \frac{d^2 \xi_s}{dx^2} = \beta' \left(\frac{1}{bh} \frac{dT}{dx} + \frac{d^2 N}{dx^2} \right) \quad (8)$$



二、 $\alpha' = h^2 \alpha / 2\lambda$, $\beta' = b^2 \beta / 2\lambda$ よりによる変位は

$$\frac{d^2 \eta_w}{dx^2} = \frac{z}{h} \frac{dw}{dx}, \quad \frac{d^2 \xi_w}{dx^2} = -\frac{z}{b} \frac{dw}{dx} \quad (9)$$

両者を合せ

$$\frac{d^2 \eta_w}{dx^2} = \alpha' \left(\frac{1}{bh} \frac{dT}{dx} - \frac{d^2 N}{dx^2} \right) + \frac{z}{h} \frac{dw}{dx}, \quad \frac{d^2 \xi_w}{dx^2} = \beta' \left(\frac{1}{bh} \frac{dT}{dx} + \frac{d^2 N}{dx^2} \right) - \frac{z}{b} \frac{dw}{dx} \quad (10)$$

二、 $\varphi = 2\eta/b = 2\eta/h$ 及び $N = EA_c dw/dx$, $dT/dx = -m_t$ を考慮すると

$$-G_s J \varphi'' - \frac{GJ}{GJ^*} EA_c w''' = m_t \quad (11)$$

$\Rightarrow K = G_s J^* = \frac{bh}{b\beta' - h\alpha}$, 左辺第2項がトラスのより拘束の影響を表す。

$b\beta' = h\lambda'$ の場合には第2項が0となりトラスによりは生じない。Fig. 3 ～ GJ^* の特性を示す。式(11)を w についてのよう書き換えることができる。

$$\frac{d^2 w}{dx^2} - K^2 w + \frac{T}{ET} = 0 \quad (12)$$

$$\therefore K = \sqrt{\frac{4}{EA_c b^2 T}} GJ, \quad T = \frac{1}{Ac b^2 h^2} \frac{GJ}{GJ^*}$$

両端単純支持されたトラスに分布ねじりモーメントが作用したときの φ , w , N を Fig. 4 に示す。

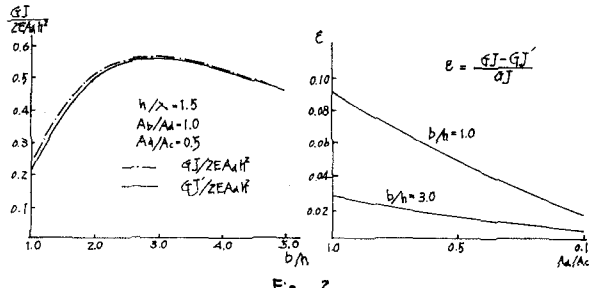


Fig. 2

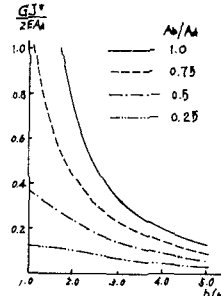
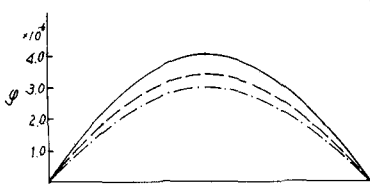


Fig. 3

両端単純支持・分布ねじりモーメント問題

$$A_c = 4.01 \text{ cm}^2, A_t = 1.32 \text{ cm}^2, A_a = 44 \text{ cm}^2, b = 180 \text{ cm}$$



(a)

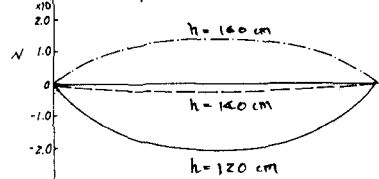
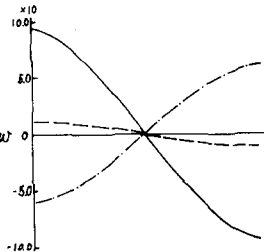


Fig. 4



(c)

4. おとぎ

以上の理論を更に進めて、補剛トラス全体横断面の変形を考慮した基礎方程式を導き、対称構の変形がねじりに及ぼす影響について検討している。

文献1) 長大吊橋補剛トラスのねじりに関する基礎的研究、関西支部講演概要昭和44年